

بررسی ویژگی آداسیتی و خاستگاه مانگماهی توده مونزونیتی کانه‌دار در منطقه نیاز، شمال-غرب ایران

هادی خلیلزاده^{*}، صمد علیپور، علی عابدینی

گروه زمین شناسی، دانشکده علوم، دانشگاه ارومیه

(د) بافت مقاله: ۹۷/۱۱/۱۴، نسخه نهایی: ۹۸/۳/۱

چکیده: منطقه نیاز در پهنه ماقمایی البرز - آذربایجان در شمال غرب ایران قرار دارد. تقریباً همه واحدهای سنگی این منطقه را سنگ‌های آذرین با ترکیب حد بواسطه تا اسیدی به سن الیگو سن تا میوسن تشکیل می‌دهند. بر اساس داده‌های زمین‌شیمیایی، سنگ‌های مونزنوتی کانه‌دار در این منطقه از سری‌های ماقمایی آهکی قلایی پتاسیم بالا و شوشونیتی و دارای ویژگی متالومین تا کمی پرآلومین بوده و به کرانه‌های فعال قاره‌ای و محیط زمین‌ساختی پسابر خورده وابسته هستند. غنی‌شدگی در عناصر سنگ دوست بزرگ یون (LILE) و عناصر خاکی نادر سبک (LREE) و تهی‌شدگی از عناصر با شدت میدان بالا (HFSE) و عناصر خاکی نادر سنگین (HREE) از ویژگی‌های اصلی این توده است. ویژگی‌های زمین‌شیمیایی مانند مقادیر SiO_2 و Al_2O_3 بالا، MgO پایین، مقدار کم Y و Yb (0.83 ppm تا 1.53 ppm)، مقدار پالای N (46.82 ppm تا 42.23 ppm)، مقدار بالای Sr (میانگین 18.6 ppm تا 9.6 ppm) و مقدار پایین عناصر HFSE نشانده‌نده وابستگی آداسیتی این سنگ‌ها هستند. بطور کلی، ویژگی‌های زمین‌شیمیایی نمونه-های مورد بررسی با آداسیت‌های پرسیلیس (HSA) همخوانی دارد. نسبت‌های بالای Y/Sr و La/Yb (N) بیانگر حضور آمفیبول و به مقدار جزئی گارنت به عنوان فازهای پایدار در ناحیه خاستگاه ماقما است و به نظر می‌رسد که ماقمای والد سنگ‌های آداسیتی مورد بررسی از ذوب بخشی پوسته‌ی زیرین ضخیم شده شکل گرفته‌اند.

واژه‌های کلیدی: آداسیت، خاستگاه مانگما بی، ذوب پخشی، توده مونزونیتی، نیاز.

ویژگی‌های زمین شیمیایی ویژه در آنها شده است. سنگ‌های آداسیتی را می‌توان بر اساس ترکیب عناصر اصلی و فرعی از ماقماهای قوسی عادی (برآمده از گوشته) تشخیص داد [۱]. سنگ‌های آداسیتی دارای مقادیر بالای SiO_2 (بیش از wt% ۷۰)، MgO (کمتر از wt% ۶)، Al_2O_3 (بیش از wt% ۱۵) و مقدار پایین CaO (از ۲۰ ppm تا ۴۰ ppm)، Sr (از ۲۰ ppm تا ۴۰ ppm)، Y (از ۱۸ ppm تا ۲۰ ppm)، La/Yb (از ۱/۹ ppm تا ۱/۶)، Sr/Y (از ۱/۶ تا ۱/۳)، Nb (مانند Ta) و نبود بی-هنجرای شاخص منفی Eu اشاره کرد [۱-۴]. غنی‌شدگی در عناصر LREE همراه با تههش‌دگر، از عناصر HREE و Y مقدار پایین عناصر HFSE (مانند Nb و Ta) و نبود بی-

واژه آدکیت برای نخستین بار برای توصیف سنگ‌های اسیدی تا حدود است در جزیره آدک در آلتوتاین آلاسکا استفاده شد [۱]. از نظر محیط زمین‌ساختی، سنگ‌های آدکیتی وابسته به پهنه‌های فرورانشی و محیط‌های زمین‌ساختی بروخوردی-کششی هستند [۲]. مارتین و همکاران [۳] معتقدند که آدکیت‌ها در واقع از زیرمجموعه‌های اصلی مagmaهای آهکی قلیابی هستند، اما در شرایط ویژه از فرآیندهای سنگ‌زایی مانند تفاوت سنگ خاستگاه‌های آنها در ناحیه ذوب و همچنین جدایش بلورین برخی کانی‌های فرعی در مقایسه با سنگ‌های آهکی، قلیابی، معمولی، شکل گرفته‌اند که منجر به برخی

*نوهی سنده مسئو، تلفن: ۰۹۱۴۷۱۹۱، بست الکترونیک: hkhalilzadeh62@gmail.com

غربی پهنه ماقمایی البرز-آذربایجان واقع است و یکی از مهمترین ایالت‌های فلزیابی در ایران محسوب می‌شود. این کمربند به وسیله سه گسل اصلی راستا لغز شامل گسل‌های ارس در شمال، گسل تبریز در غرب و جنوب‌غرب و گسل تالش در شرق محدود شده است. حرکت این گسل‌ها سبب رخداد نظام زمین‌ساختی کششی در این کمربند طی سنوزوئیک شده است. فعالیت ماقمایی در کمربند ارسباران از کرتاسه پسین آغاز شده و با شدت بیشتر طی سنوزوئیک و کواترنری ادامه یافته است. فعالیت ماقمایی سنوزوئیک-کواترنری در این کمربند از ائوسن آغاز شده و تا زمان کواترنری ادامه داشته است و مهمترین فاز آن مربوط به فعالیت‌های آتشفسانی و آذرین نفوذی ائوسن، الیگوسن و میوسن است [۱۸، ۱۷].

در کمربند ارسباران، سنگ‌های آتشفسانی بیشتر دارای ترکیب اسیدی تا بازی و سنگ‌های آذرین نفوذی دارای ترکیب اسیدی تا حدوداً هستند [۱۹]. از مهمترین توده‌های آذرین نفوذی در کمربند ارسباران می‌توان به توده‌های میزان، خانکندي، شیور، سونگون و اردوباد (شکل ۱) اشاره کرد [۱۷]. توده مونزونیتی در منطقه نیاز بخشی از توده آذرین نفوذی خانکندي به سن الیگوسن و میزان اصلی کانی‌زایی مس و دگرسانی‌های فیلی، آرژیلی و پروپلیتی است. در منطقه نیاز، منطقه‌بندی ویژه دگرسانی‌های سامانه‌های مس پورفیری دیده نمی‌شود که دلیل آن احتمالاً عمق بالای فراسایش سامانه است. با توجه به بررسی‌های صحرایی به نظر می‌رسد که عملکرد سامانه گسل خوردگی منطقه سبب حفاظت بخشی از سامانه پورفیری در منطقه نیاز شده است. این بخش دارای دگرسانی عمده فیلی است که بر دگرسانی پیشین پتابسیمی اثر گذاشته است [۲۰، ۲۱].

بر اساس بررسی‌های صحرایی و نقشه زمین‌شناسی ۱:۱۰۰۰ (شکل ۲)، تقریباً همه واحدهای سنگی رخنمون یافته در منطقه نیاز را سنگ‌های آذرین تشکیل می‌دهند که شامل سنگ‌های خروجی، نفوذی و شبه آتشفسانی هستند.

سنگ‌های آذرین خروجی
واحد سنگی ریوداسیتی (Rd): این واحد مهمترین واحد سنگی خروجی در منطقه نیاز بوده و بر اساس نقشه زمین‌شناسی ۱:۱۰۰۰۰۰ اهر [۲۲] و بازدیدهای صحرایی، دارای سن

منجر به افزایش نسبت‌های La/Yb و Sr/Y در سنگ‌های آداکیتی می‌شود. دفانت و دراموند [۱] خاستگاه آداکیت‌ها را با ذوب پوسته اقیانوسی فرورانده شده در حضور فازهای گارنت آمفیبولیت یا اکلوژیت در ارتباط دانسته‌اند، ولی بررسی‌های اخیر نشان داده است که ذوب گوشته دگرنهاده در فشار بالا، ذوب پوسته قاره‌ای زیرین ضخیم شده و یا ذوب درجه پایین پوسته قاره‌ای زیرین متورق شده (delaminated) می‌تواند منجر به تشکیل ماقمایی آداکیتی شود [۹-۵].

سنگ‌های آداکیتی برای نخستین بار در سال ۱۳۸۶ در شمال‌غرب ایران شناسایی شدند [۱۰]. در سال‌های بعد، ایالت‌های آداکیتی دیگری در شمال‌غرب ایران [۱۱]، در بخش مرکزی کوههای زاگرس [۱۲]، در شرق ایران [۱۳] و در طول کمربند ماقمایی ارومیه-دختر [۱۴، ۱۵] شناسایی شدند. بسیاری از پژوهشگران پیشنهاد داده‌اند که این سنگ‌ها از ذوب تختال اقیانوسی در زیر فلات ایران [۱۲] و یا ذوب بخشی پوسته زیرین طی برخورد فلات‌های ایران و عربستان یا پس از آن [۱۱] شکل گرفته‌اند.

روش بررسی

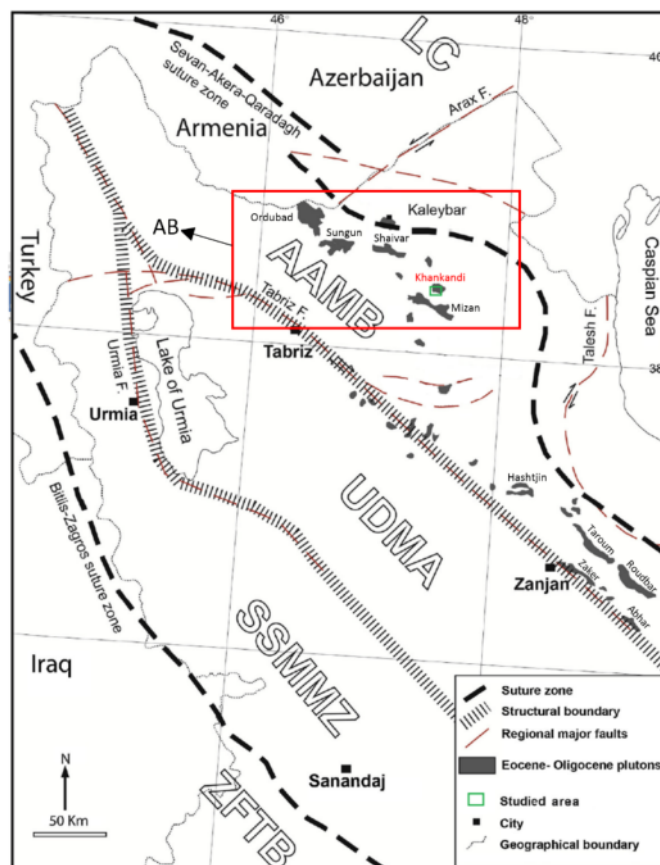
این بررسی در دو بخش صحرایی و آزمایشگاهی انجام شد. بخش صحرایی شامل پیمایش‌های صحرایی، بررسی واحدهای سنگی سطحی، شناسایی پهنه‌های دگرسانی و کانی‌زایی، بررسی معزه‌های حفاری اکتشافی و انجام نمونه‌برداری اصولی بوده است. در بخش آزمایشگاهی نیز، ضمن بررسی مقاطع میکروسکوپی، تعداد ۱۵ نمونه سنگی کمتر دگرسان شده از توده مونزونیتی منطقه انتخاب و برای تعیین مقادیر عنصر اصلی، فرعی و خاکی نادر به روش‌های طیف‌ستجی نشری پلاسمای جفت شده القایی (ICP-ES) و طیف‌ستجی جرمی پلاسمای جفت شده القایی (ICP-MS) در آزمایشگاه MS Analytical کشور کانادا تجزیه شدند.

زمین‌شناسی منطقه

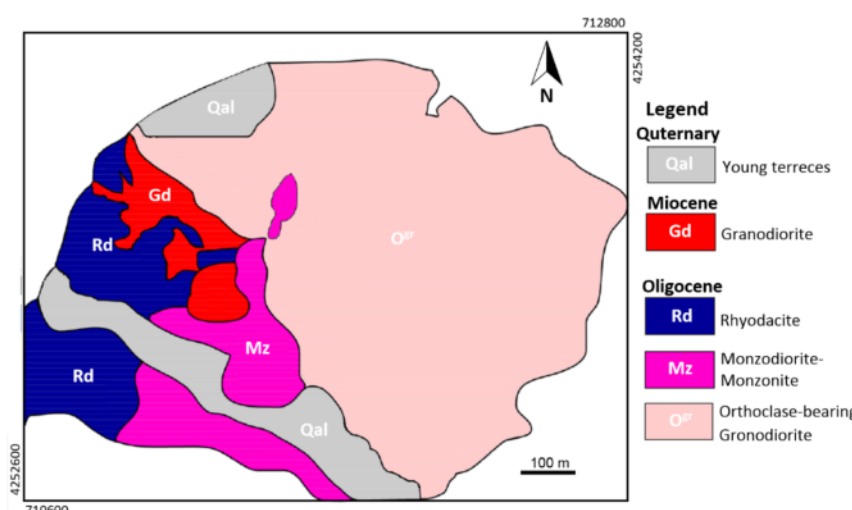
منطقه نیاز در شمال‌غرب ایران و در مختصات جغرافیایی به طول $۳۸^{\circ} ۲۴' ۴۷''$ و عرض $۲۶^{\circ} ۲۶' ۳۸''$ واقع شده است. بر اساس تقسیم‌بندی پهنه‌های ساختاری و ماقمایی ایران [۱۶]، این منطقه بخشی از پهنه ماقمایی البرز-آذربایجان و کمربند فلزیابی ارسباران است (شکل ۱). کمربند ارسباران در بخش

ویژگی مهم این واحد سنگی وجود کانه‌زایی مس به صورت مالاکیت انتشاری است. همچنین دگرسانی‌های آرژیلی و فیلی و آثاری از اکسید و هیدروکسیدهای آهن در آن گزارش شده است [۲۱].

الیگوسن است. این واحد بیشتر در غرب و جنوب‌غربی منطقه رخمنون دارد. در شمال‌غربی روستای نیاز، در گستره نسبتاً وسیعی سنگ‌هایی با جنس ریوداسیت پورفیری بخش‌های بزرگ و کوچک گرانوودیوریت پورفیری را در برگرفته است.



شکل ۱ نقشه مهمترین پهنه‌های ساختاری-ماگمایی در شمال‌غرب ایران (برگرفته از مرجع [۱۸] با تغییرات کلی) به همراه جایگاه کمربند ارسباران (AB) و منطقه مورد بررسی.



شکل ۲ نقشه زمین‌شناسی منطقه نیاز در مقیاس ۱:۱۰۰۰ (برگرفته از مراجع [۲۳، ۲۱] با تغییرات کلی).

می‌شوند. از آنجا که مرز مشخص و قابل تفکیک میان این سنگ‌ها وجود ندارد، همه آنها به عنوان واحد به اصطلاح مونزونیتی در نظر گرفته شده‌اند. واحد مونزونیتی در منطقه نیاز بیشتر توسط واحدهای گرانوودیوریت (Gd) و گرانوودیوریت ارتوزدار (Ogr) در برگرفته شده است (شکل ۳). در مقیاس نمونه دستی، سنگ‌های مونزونیتی به رنگ خاکستری تا خاکستری مایل به سبز دیده می‌شوند (شکل ۴ الف) و نسبت به گرانوودیوریت‌ها تیره‌تر هستند. کانی‌های اصلی تشکیل دهنده این سنگ‌ها، پلازیوکلاز اغلب با ترکیب الیگوکلاز تا آلبیت، ارتوز، کوارتز، آمفیبول، بیوتیت و کانی‌های فرعی آپاتیت و اسفن هستند. به طور کلی، پلازیوکلاز ۵۰ تا ۵۵ درصد، فلدسپارهای قلیایی ۱۰ تا ۱۵ درصد، کانی‌های مافیک (بیوتیت و آمفیبول) ۱۰ تا ۱۵ درصد، کوارتز کمتر از ۱۰ درصد و کانی‌های فرعی و کدر کمتر از ۵ درصد کانی‌های این سنگ‌ها را تشکیل می‌دهند (شکل‌های ۴ ب و پ). واحد مونزونیتی میزبان اصلی کانه‌زایی مس در منطقه نیاز بوده و دگرسانی غالب در آن، دگرسانی فیلی باشد متوسط است. کانه‌زایی مس در این واحد به صورت رگه‌ای، افسان و پرکننده سطوح درزه بوده و کانی‌های کالکوپیریت، بورنیت و مقادیر جزیی کالکوسیت و کولولین نیز در آن قابل مشاهده است. دایک‌های آپلیتی تا میکروگرانیتی با روند شمال غرب-جنوب شرق این واحد سنگی را قطع کرده‌اند.

سنگ‌های آذرین نفوذی و شبه آتشفسانی
این سنگ‌ها بیشترین رخمنون را در منطقه نیاز دارند، شامل نفوذی‌های اسیدی تا حد واسطه هستند و طیف ترکیبی آنها از گرانیت، گرانوودیوریت تا کوارتز مونزونیت، مونزونیت و مونزودیوریت تغییر می‌کند. سن این واحدها الیگومن تا میوسن است [۲۰، ۲۱، ۲۳].

واحد سنگی گرانوودیوریت ارتوزدار (Ogr): این واحد حدود ۵۵ تا ۶۰ درصد گستره نقشه ۱:۱۰۰۰ (شکل ۲) که شامل نیمه شرقی و بخش‌هایی از شمال غرب منطقه است را به خود اختصاص داده و از نظر سنی، قدیمی‌ترین واحد موجود در منطقه است و در برخی موارد با واحدهای مجاور خود دارای برخوردگاه گسلی است. در نمونه دستی این واحد دارای بافت پورفیری تا دانه‌ای است و به رنگ روشن دیده می‌شود. این واحد کانه‌زایی ندارد و به واسطه دارا بودن درشت بلورهای ارتوز صورتی رنگ از سایر واحدها قابل تشخیص است.

واحد مونزودیوریت - مونزونیت (Mz): واحد نفوذی مونزودیوریت-مونزونیت (واحد مونزونیتی) از نظر سنی، پس از تزریق واحد گرانوودیوریت ارتوزدار تزریق شده است و بیشتر در مرکز، جنوب و جنوب غرب منطقه رخمنون دارد. در رخمنون-های سطحی ترکیب این واحد، بیشتر از نوع مونزودیوریت است، اما سنگ‌هایی با جنس مونزونیت، کوارتز-مونزونیت، مونزونیت پورفیری و غیره نیز در نمونه‌های دستی دیده



شکل ۳ نمایی از منطقه مورد بررسی به همراه جایگاه برخی از نقاط حفاری (دید به سمت شمال شرق).



شکل ۴ (الف) تصویر نمونه دستی از واحد مونزونیتی، ب و پ) تصاویر میکروسکوپی از توده نفوذی مونزونیتی مورد بررسی. پلاژیوکلازهای سالم با ماکل کارلسbad، آلبیتی، نیمه شکل دار، تیغه‌ای و با جهت یافتگی به همراه کانی‌های بیوتیت، هورنبلند، فلدسپارقلیایی و کوارتز [۲۱].

Alk-fld: هورنبلند، Hbl: فلدسپار قلیایی، Bit: بیوتیت، Cal: کلسیت، Qtz: کوارتز، Plg: پلاژیوکلاز)

(CaO از ۰/۲۲۴٪) و CaO از ۰/۵۱۱٪ تا ۰/۷۶٪ (میانگین ۰/۲۶۶٪) متغیر است. مقدار بالای Sr (با میانگین ۷۱۹/۷۴٪) و مقادیر پایین Y (میانگین ۰/۱۳۰٪)، عناصر خاکی نادر سنگین (Yb = ۰/۸۳-۱/۵۳) و عناصر با شدت میدان بالا از دیگر

ویژگی‌های توده مونزونیتی نیاز است (جدول ۱).

با توجه به نمودار R₁-R₂ [۲۴]، بیشتر نمونه‌ها در گستره گرانیت، کوارتزمونزونیت و مونزونیت جای دارند (شکل ۵ الف). براساس نمودار K₂O/SiO₂ نسبت به (شکل ۵ ب)، نمونه‌ها دارای ماهیت آهکی قلیایی پتسیم بالا و شوشونیتی هستند. بر اساس نمودار شاخص اشباع از آلومینیوم - A/CNK A/NK [۲۶]، توده مونزونیتی نیاز دارای ویژگی متالومین تا کمی پرآلومین (شکل ۵ پ) بوده و نمودار Na₂O نسبت به K₂O [۲۷] نشانده‌نده وابستگی این توده به گرانیت‌های نوع I است (شکل ۵ ت).

واحد گرانودیوریت (Gd): سن این واحد بر اساس بررسی‌های سن‌سنگی [۲۳] میوسن است. این واحد کانه‌زایی ندارد و کم و بیش دستخوش دگرسانی شده است، بطوریکه در برخی موارد بافت و بیشتر کانی‌های اولیه خود را کاملاً از دست داده است. رنگ این واحد در نمونه دستی صورتی روشن است و کانی‌های کوارتز، پلاژیوکلاز و بیوتیت کلریتی شده در آن دیده می‌شود. در قسمت شمال غرب منطقه، این واحد دستخوش دگرسانی آرژیلیک گردیده و در بعضی نقاط به شدت سیلیسی شده و در بردارنده اکسید آهن است [۲۰، ۲۱].

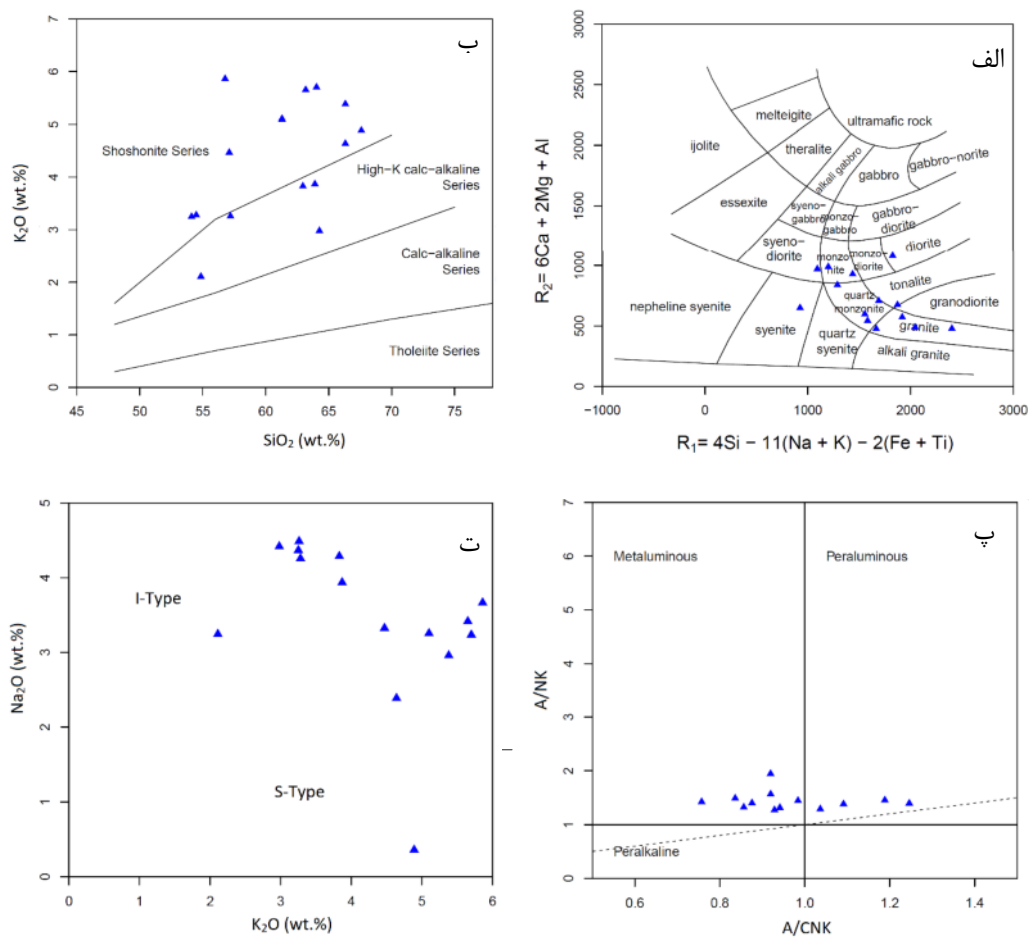
بحث و بررسی

زمین‌شیمی و محیط زمین‌ساختی

در نمونه‌های مورد بررسی، مقدار SiO₂ از ۵۴/۱۱٪ تا ۶۷/۵۹٪ (میانگین ۶۰/۹۵٪)، Al₂O₃ از ۱۳/۸٪ تا ۱۶/۷٪ (میانگین ۱۵/۳۶٪) K₂O از ۲/۱٪ تا ۵/۸۶٪ (میانگین ۳/۹٪)، Na₂O+K₂O از ۵/۲۵٪ تا ۹/۵۳٪ (میانگین ۷/۷۲٪)، MgO از ۰/۸۴٪ تا ۰/۵٪ (میانگین

جدول ۱ مقادیر اکسیدهای اصلی (درصد وزنی) و عناصر فرعی و خاکی نادر (ppm) در نمونه‌های مورد بررسی.

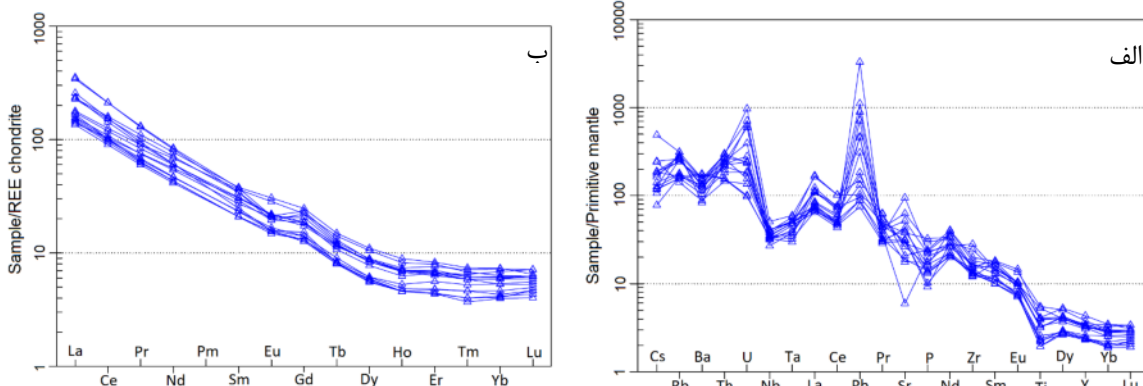
	NZ-01,56	NZ-01,162	NZ-02,20	NZ-02,148	NZ-02,228	NZ-03,94	NZ-04,44	NZ-04,98	NZ-04,206	NZ-05,28	NZ-05,96	NZ-05,262	NZ-06,42	NZ-06,142	NZ-06,236
SiO ₂	۶۶,۳۲	۶۴,۲۶	۶۴,۰۳	۵۴,۱۱	۶۳,۹	۶۱,۲۹	۶۷,۵۹	۶۳,۱۷	۶۶,۳۲	۵۷,۲	۵۴,۸۵	۶۲,۹۵	۵۶,۷۷	۵۷,۱	۵۴,۴۸
Al ₂ O ₃	۱۵,۵۶	۱۳,۸	۱۶,۰۵	۱۶,۷۷	۱۵,۴۲	۱۵,۰۵	۱۵,۳۸	۱۴,۹۴	۱۶,۲۸	۱۵,۲۹	۱۴,۸۴	۱۴,۸۱	۱۵,۹۶	۱۵,۳۶	۱۵,۰۳
Fe ₂ O ₃	۲,۱۲	۳,۴۱	۳,۹۸	۶,۸۹	۲,۷۲	۰,۷۸	۲,۶۱	۴,۳۲	۲,۷۴	۵,۷۸	۶,۱۴	۲,۹۲	۶,۰۳	۴,۷۹	۵,۱۹
MgO	۰,۸۴	۱,۱۵	۱,۶۲	۴,۷۲	۱,۵۸	۱,۵۶	۱,۴۷	۰,۹۸	۱,۰۵	۲,۱	۵,۸۴	۱,۱۸	۳,۲۱	۳,۷۹	۲,۷۷
Cao	۱,۳۲	۲,۲۹	۰,۷۶	۴,۱۴	۲,۷۵	۱,۶	۰,۸۴	۲,۳۹	۱	۳۶	۴۶۸	۳,۳۵	۱,۶۶	۴,۴۳	۰,۱۱
Na ₂ O	۲,۹۶	۴,۴۲	۳,۲۴	۴,۳۷	۳,۹۴	۳,۲۶	۰,۳۶	۳,۴۲	۲,۳۹	۴,۴۹	۳,۲۵	۴,۲۹	۳,۶۷	۳,۳۳	۴,۲۶
K ₂ O	۰,۳۸	۲,۹۸	۰,۷	۳,۲۵	۳,۸۷	۰,۱	۴,۸۹	۰,۶۵	۴,۶۴	۳,۲۶	۲,۱۱	۳,۸۳	۵,۸۶	۴,۴۷	۳,۲۸
MnO	۰,۰۴	۰,۱۲	۰,۱۱	۰,۱۸	۰,۰۵	۰,۱۴	۰,۰۳	۰,۰۹	۰,۰۵	۰,۱۴	۰,۱	۰,۰۶	۰,۰۸	۰,۱۴	۰,۲۲
BaO	۰,۰۹	۰,۰۸	۰,۱۲	۰,۱۳	۰,۰۹	۰,۱۱	۰,۰۶	۰,۱	۰,۰۸	۰,۱	۰,۰۷	۰,۰۹	۰,۱۱	۰,۱۲	۰,۱۳
SrO	۰,۰۶	۰,۰۶	۰,۰۴	۰,۱۳	۰,۰۸	۰,۰۵	۰,۰۱	۰,۰۶	۰,۰۵	۰,۰۶	۰,۰۸	۰,۰۹	۰,۰۵	۰,۱۳	۰,۲۵
TiO ₂	۰,۶۴	۰,۳۹	۰,۶۷	۱,۱۱	۰,۴۷	۰,۶۴	۰,۶۴	۰,۳۹	۰,۵۲	۰,۸۷	۱,۰۶	۰,۴۶	۰,۸۷	۰,۷۹	۰,۸۱
P ₂ O ₅	۰,۲۷	۰,۲۱	۰,۳۶	۰,۶۱	۰,۳۴	۰,۳۳	۰,۴۲	۰,۱۹	۰,۲۹	۰,۴۸	۰,۶۷	۰,۲۸	۰,۰۵	۰,۴۶	۰,۴۸
Cr ₂ O ₃	<۰,۰۱	<۰,۰۱	<۰,۰۱	۰,۰۱	<۰,۰۱	۰,۰۱	<۰,۰۱	<۰,۰۱	<۰,۰۱	<۰,۰۱	<۰,۰۳	<۰,۰۱	<۰,۰۱	<۰,۰۱	<۰,۰۱
مواد فرار	۳,۴۷	۴,۹۹	۳,۱۳	۵,۳۵	۴,۱۷	۴,۰۵	۳,۹۵	۴,۰۳	۳,۵۳	۴,۳۴	۵,۴۱	۳,۷۳	۴,۲۱	۴,۲۴	۷,۰۲
مجموع	۹۸,۸۸	۹۸,۱۶	۹۹,۸۲	۱۰۱,۰۷	۹۹,۹۳	۹۹,۰۸	۹۸,۲۷	۹۹,۷۳	۹۸,۹۴	۹۸,۶۷	۹۹,۱۳	۹۸,۰۴	۹۸,۴۲	۹۸,۴۵	۹۹,۲۴
V	۵۹	۵۴	۷۹	۱۵۱	۶۷	۹۹	۹۱	۷۵	۷۲	۱۱۷	۱۵۳	۶۲	۱۲۰	۱۱۴	۱۱۱
Y	۱۱,۲	۱۰,۱	۱۳,۲	۱۶,۳	۱۰,۵	۱۴,۶	۱۴,۹	۱۰,۲	۱۰,۳	۱۸,۶	۱۳,۶	۹,۹	۱۴,۳	۱۴,۱	۱۴,۳
Cr	۰,۷	۷۶	۷۱	۸۱	۷۵	۷۳	۹۲	۴۵	۷۵	۶۷	۲۱۵	۴۶	۶۸	۹۲	۸۵
Co	۶,۹	۷,۱	۱۰,۳	۱۹,۵	۶,۴	۲۳,۸	۵,۷	۱۱,۳	۶,۵	۱۲,۱	۲۱,۹	۷,۷	۱۵,۸	۱۲,۶	۱۲,۹
Ni	۱۳,۳	۱۹,۳	۲۴,۶	۴۴,۶	۱۲,۷	۲۷	۱۹,۹	۲۱,۱	۱۲,۲	۳۱,۲	۹۸,۶	۱۶,۳	۴۷,۴	۳۰,۵	۲۸,۶
Pb	۴۶,۳	۱۰,۷	۲۷,۵	۱۹,۷	۱۲,۳	۲۲,۵	۱۲,۳	۱۶۷,۲	۷۰,۲	۶۷,۹	۱۴,۴	۱۱,۲	۱۵,۵	۱۲,۴	۴۹,۴,۹
Zn	۷۲	۲۲۲	۱۲۴	۱۵۱	۵۰	۱۲۰	۲۱	۹۳	۶۷۶	۱۷۲	۸۸	۵۲	۷۳	۲۸۲	۴۴,۵
Cu	۵۳۰,۷	۴۲۳,۴	۱۴۸,۰۸	۱۱۸,۳۶	۱۱۶۶	۶۵۶۲,۶	۷۸۲,۲	۱۰,۷۰,۴	۴۲۶,۴	۵۷۸,۶	۳۸۲,۱	۱۷۱,۳	۱۴۶۳,۷	۱۵۲۶	۷۲۱
Mo	۲۲,۴۸	۴۲,۱۸	۱۳۵,۷	۶,۹۲	۳۱,۸۷	۲۹۳,۲	۳۲,۷۲	۷۰,۹۱	۵۰,۵۵	۴۶,۲۲	۵۴۶	۱۱,۷	۷۰,۲,۱۸	۱۵,۹۹	۴۵,۳۷
Ga	۱۶,۴	۱۵,۶	۱۷,۶	۱۹,۳	۱۶,۱	۱۷,۴	۱۶,۷	۱۶,۳	۲۲,۶	۱۸,۸	۱۹,۶	۱۶,۳	۱۹,۲	۱۷,۱	۱۸,۴
Sc	۴,۳	۴,۱	۶,۱	۱۱,۱	۴,۴	۶,۸	۵,۶	۴,۱	۴,۵	۷,۹	۱۲	۴,۶	۸	۸,۵	۸,۳
Tl	۰,۰۷	۰,۰۷	۰,۰۸	۰,۰۷	۰,۰۶	۰,۰۷	۰,۱۸	۰,۰۶	۰,۱۲	۰,۰۴	۰,۰۹	۰,۰۷	۰,۱۲	۰,۰۷	۰,۱۱
Rb	۱۵۷,۵	۹۵,۱	۱۷۳,۶	۹۹,۴	۱۰,۷,۵	۱۴۷,۷	۱۸,۷,۹	۱۵۳,۵	۱۶۳,۳	۹۸,۴	۸۵,۲	۱۰,۴۲	۱۸۶,۸	۱۴۶,۵	۹۴,۲
Th	۱۸,۴۲	۱۷,۹۸	۱۹,۴	۱۲,۵۳	۱۷,۲	۲۴,۰	۱۹,۶	۲۳,۹۸	۱۴,۶۲	۲۱,۸۴	۱۱,۶۵	۲۱,۱۶	۲۳,۲۸	۱۵,۸	۱۲,۳۴
Sr	۶۳۲,۷	۶۱۲,۶	۳۵۱,۴	۱۲۴۸,۸	۷۹,۰,۲	۵۲۳,۹	۱۱۸,۷	۶۲۲,۲	۲۷۸,۱	۵۰۷,۰,۷	۷۵۶,۱	۸۵۷,۴	۴۱۴,۵	۱۰,۳۶,۱	۱۸۸۲,۷
Cs	۵,۱۶	۲,۴۷	۳,۴۴	۳,۸۸	۲,۹۷	۳,۶۷	۱۰,۲۷	۲,۷۴	۳,۹۶	۱,۶۴	۵,۰,۴	۲,۶۵	۲,۶۷	۳,۹۵	۲,۰۲
Ba	۸۴۹,۸	۶۸۹,۳	۱۰,۲۵,۹	۱۱۶۹,۷	۸۲۶,۸	۹۷۶,۲	۵۵۱,۱	۸۹۱,۳	۶۹۳,۲	۸۷۶	۵۸۱,۲,۱	۷۶۳,۷	۱۰,۴۱,۱	۱۰,۴۴,۶	۱۱۲۲,۹
U	۵,۵۹	۴,۸۱	۱۱,۹۴	۲,۰,۱	۳,۰۷	۱۴,۲۱	۷,۸,۸	۴,۷	۳,۷۳	۴,۶	۲,۷۳	۳,۱۱	۱۹,۴۶	۱۲,۷۱	۱,۹۵
Zr	۱۳۷	۱۵۷	۲۵۶	۱۲۶	۱۲۸	۱۹۱	۱۷۴	۱۳۳	۱۴۵	۱۶۶	۱۵۶	۱۴۲	۲۰,۹	۱۷۴	۲۹۶
Nb	۲۲,۲	۲۱,۲	۲۷	۲۱,۶	۲۲,۹	۲۶,۸	۲۰,۸	۱۷,۷	۲۶,۱	۲۷,۲	۲۳,۴	۲۵	۲۳,۵	۲۲,۱	۲۲,۵
Hf	۴	۴,۵	۶,۵	۳,۴	۴	۵,۲	۴,۸	۴	۴,۴	۴,۲	۴,۳	۴	۵,۴	۴,۶	۷,۱
Ta	۱,۸	۱,۷	۱,۹	۱,۱	۱,۸	۱,۹	۱,۵	۱,۴	۲,۱	۱,۸	۱,۳	۱,۹	۲,۲	۱,۴	۱,۲
La	۵۱,۷	۴۱,۹	۷۳,۵	۵۵,۳	۴۶	۱۰,۹,۷	۴۸,۷	۷۹,۸	۴۷,۸	۷۱,۹	۷۰,۵	۴۶,۷	۱۰,۶,۱	۵۳,۵	۴۳,۱
Ce	۸,۲	۷۲,۸	۱۱۵,۷	۱۰,۱,۶	۷۹,۷	۱۷۱,۵	۸۷,۷	۱۲۴,۵	۸۲,۲,۳	۱۲۹,۲	۱۲۲,۴	۷۶,۹	۱۷,۰,۷	۹۶	۸۳,۵
Pr	۷,۷۹	۷,۳۱	۱۱,۰,۵	۱,۰,۹۹	۸,۰,۸	۱۵,۷	۹,۱,۴	۱۱,۵۸	۸,۲۲	۱۳,۴۶	۱۲,۳۶	۷,۶۱	۱۶,۰,۴	۱,۰,۱۶	۹,۲۱
Nd	۲۵,۹	۲۴,۹	۳۶,۰	۴۱,۱	۲۷,۹	۴۹,۳	۳۲,۴	۲۶,۷	۲۸,۲	۴۶,۴	۴۲,۵	۲۵,۹	۵۰,۶	۳۶	۳۳,۵
Sm	۴,۰,۸	۴,۰,۸	۵,۶۵	۷,۰,۸	۴,۰,۷	۶,۶۸	۵,۳	۴,۸۳	۴,۰,۳	۷,۰,۹	۶,۶۸	۴,۰,۸	۷,۲,۸	۶,۰,۳	۵,۹۵
Eu	۱,۱۴	۱,۱۴	۱,۱۴	۱,۷,۹	۱,۷۲	۱,۶۳	۱,۰۳	۱,۱۶	۱,۱۶	۲,۷۵	۱,۰۴	۱,۰,۹	۱,۰۵	۱,۰۲	۱,۰۹
Gd	۳,۳۹	۳,۲۸	۴,۷۹	۵,۷۶	۳,۶۶	۵,۷۵	۴,۵	۳,۹۶	۳,۶۶	۶,۴	۵,۲۲	۳,۴	۶,۰,۷	۴,۰,۷	۴,۷۷
Tb	۰,۴	۰,۳۸	۰,۵۱	۰,۶۷	۰,۴۳	۰,۵۹	۰,۴	۰,۳۹	۰,۳۹	۰,۷۱	۰,۰۷	۰,۳۸	۰,۶۲	۰,۰۵	۰,۰۶
Dy	۱,۹۸	۱,۹۱	۲,۵	۲,۳۹	۱,۹۷	۲,۸,۷	۲,۸	۱,۸۱	۱,۸۷	۲,۰,۵	۲,۷	۱,۷۸	۲,۰,۲	۲,۷۱	۲,۶۹
Ho	۰,۳۸	۰,۳۳	۰,۴۵	۰,۵۹	۰,۳۵	۰,۵۳	۰,۵	۰,۳۳	۰,۳۳	۰,۷۴	۰,۰۹	۰,۳۳	۰,۰۱	۰,۰۵	۰,۰۵
Er	۱,۱۸	۱	۱,۴	۱,۶۷	۱,۰,۱	۱,۶	۱,۴,۸	۰,۹۲	۰,۹۳	۱,۷۷	۱,۳۳	۰,۹۲	۱,۴۲	۱,۳۷	۱,۴۱
Tm	۰,۱۷	۰,۱۵	۰,۲۱	۰,۲۲	۰,۱۵	۰,۲۳	۰,۲	۰,۱۲	۰,۱۳	۰,۷۴	۰,۱۹	۰,۱۳	۰,۲	۰,۱۹	۰,۱۹
Yb	۱,۱۲	۰,۹۷	۱,۴۳	۱,۷۲	۰,۹	۱,۰۱	۱,۰۹	۰,۸۳	۰,۸۷	۱,۰۳	۱,۱۱	۰,۸۵	۱,۰۷	۱,۱۴	۱,۱۴
Lu	۰,۱۸	۰,۱۶	۰,۲۲	۰,۲	۰,۱۵	۰,۲۳	۰,۲	۰,۱۳	۰,۱۴	۰,۲۱	۰,۱۷	۰,۱۵	۰,۲	۰,۱۹	۰,۲
[La,Yb] _N	۳۱,۱۲	۲۹,۱۲	۳۴,۶۵	۲۸,۲۴	۳۴,۴۵	۴۸,۹۷	۲۵,۴۵	۶۴,۸۲	۲۷,۱,۰	۳۱,۶۸	۴۲,۸۲	۳۵,۴۵	۵۶,۳۲	۲۹,۳۲	۲۳,۴۳
Eu,Eu*	۰,۹۳	۰,۹۵	۰,۴	۱	۰,۹۱	۰,۷	۰,۹۵	۰,۸۱	۰,۸۷	۱	۰,۷۸	۰,۸۹	۰,۷۱	۰,۹۱	۰,۹۱



شکل ۵ الف) نمودار نامگذاری توده نفوذی مونزونیتی [۲۴]، ب) جایگاه نمونه‌ها در نمودار K_2O نسبت به SiO_2 [۲۵]، پ) نمودار شاخص اشباع از آلومینیوم [۲۶]، ت) نمودار تفکیک نوع گرانیت توده مونزونیتی نیاز [۲۷].

اولیه است. تهی‌شدگی Ba نسبت به Rb در این نمودارها اشاره به حضور آمفیبیول به عنوان فاز پایدار در ناحیه خاستگاه ماقما دارد. آمفیبیول مقادیر بیشتری از Ba را نسبت به Rb در ساختار خود جای می‌دهد [۲۹].

نمودارهای بهنجار شده با مقادیر گوشه اولیه [۲۸] (شکل ۶ الف) نشاندهنده غنی‌شدگی عناصر سنگ دوست درشت یون (LILE) مانند La, Cs, Rb, U و عناصر Pb, Th, Rb, Cs, La, Nb, Ta, P, Zr و تهی‌شدگی عناصر با شدت میدان بالا (HFSE) مانند Sr, Nd, Sm, Eu, Y و عناصر Ba و Y در نمونه‌ها نسبت به مقادیر گوشه



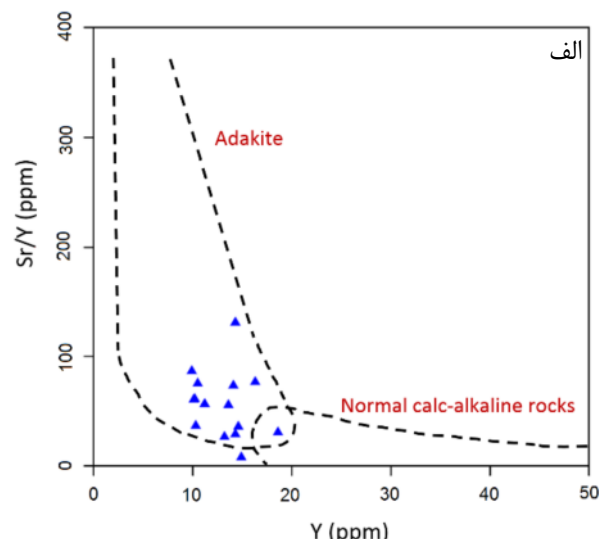
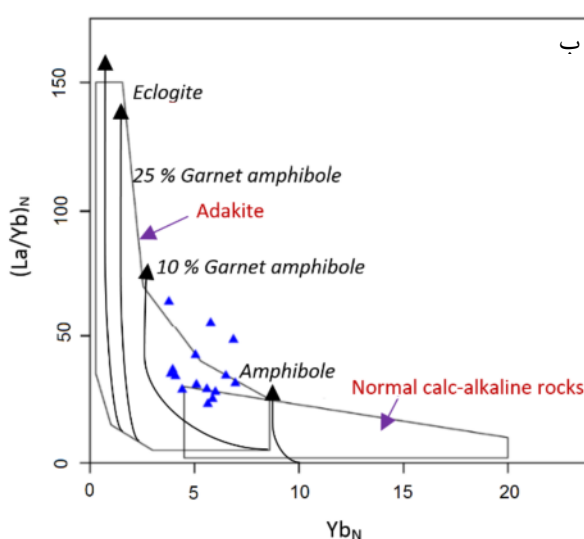
شکل ۶ الف) نمودار عناصر فرعی بهنجارشده بر اساس گوشه اولیه [۲۸] و ب) نمودار توزیع عناصر خاکی نادر بهنجارشده نسبت به کندریت بر اساس [۳۰].

همکاران [۳] بر اساس برخی ویژگی‌های زمین‌شیمیایی، آداکیت‌ها را به دو نوع پرسیلیس (HAS) و کم سیلیس (LSA) تقسیم کردند. آداکیت‌های پرسیلیس دارای مقادیر SiO_2 بیش از ۶۰٪ MgO در گستره ۰/۵ تا ۴ درصد، $\text{CaO}+\text{Na}_2\text{O}$ کمتر از ۱۱ درصد و Sr کمتر از ۱۱۰۰ ppm هستند و در حالی که آداکیت‌های کم سیلیس (LSA) با مقادیر $\text{CaO}+\text{Na}_2\text{O}$ بیش از ۱۰٪ و Sr بیش از ۹٪ MgO مشخص می‌شوند. ویژگی‌های زمین‌شیمیایی نمونه‌ها چون مقدار میانگین SiO_2 برای ۲۴٪، $\text{CaO}+\text{Na}_2\text{O}$ برای ۶۱٪، MgO برای ۰/۶۶، TiO_2 (مقادیر اکسیدها بر حسب درصد وزنی) ۷۱۹/۲۴ ppm، Sr ۷۱۹/۲۴ ppm، Nb ۰/۱۶ ppm، Y ۱۳/۰۷ ppm، Sr/Y ۱/۱۶ ppm، Yb ۵۶/۲۸ ppm، MgO ۲۴٪ و Al_2O_3 ۱۵/۳۶ wt% میانگین ۶۰/۵۹٪ برای SiO_2 است. در نمودار Sr/Y نسبت به Y (شکل ۸) که برای تفکیک آداکیت‌های HSA و LSA ارائه شده است [۳]، تقریباً همه نمونه‌ها در گستره آداکیت‌های HSA جای دارند.

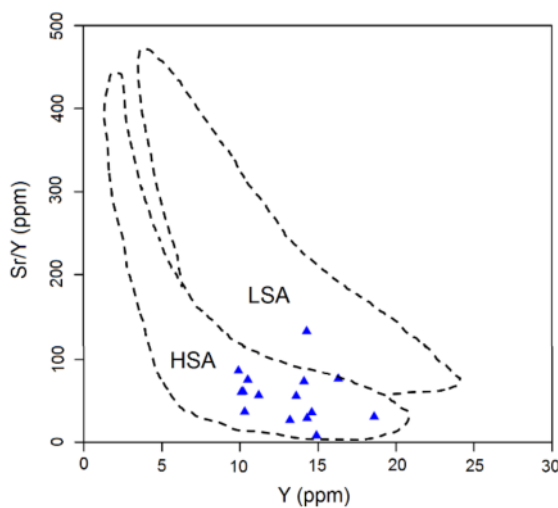
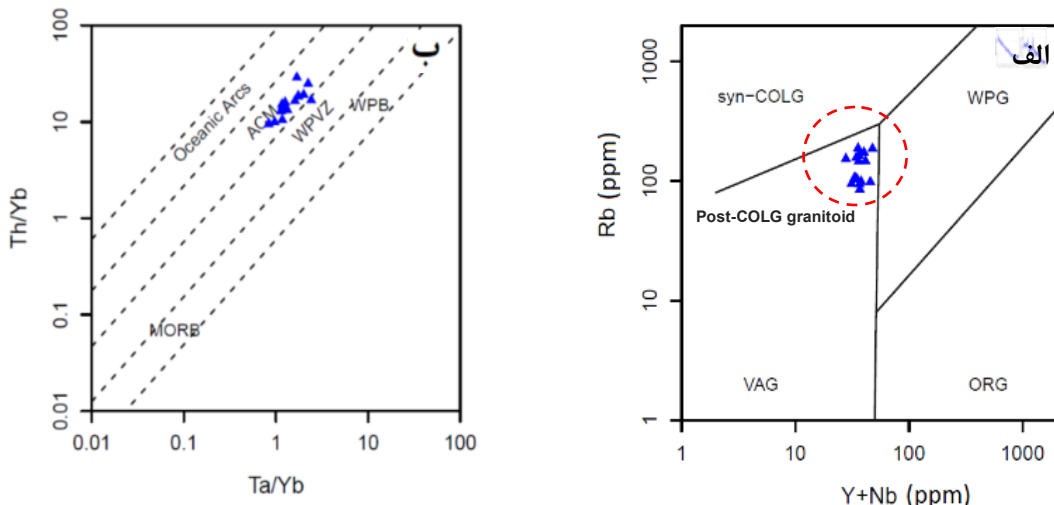
برای تعیین محیط زمین‌ساختی سنگ‌های آداکیتی مورد بررسی، نخست از نمودار Rb/Y نسبت به $\text{Y}+\text{Nb}$ [۳۴] استفاده شد که بر اساس آن نمونه‌های مورد بررسی در جایگاه زمین‌ساختی گرانیت‌های پساپرخوردی (post-COLG) (جای دارند (شکل ۹ الف). همچنین نمودار تغییرات Th/Yb نسبت به Ta/Yb (شکل ۹ ب) نشاندهنده وابستگی توده مونزونیتی نیاز به کرانه‌های فعال قاره‌ای است.

الگوی تغییرات فراوانی عناصر خاکی نادر (REE) بهنجار شده نسبت به کندریت [۳۰] (شکل ۶ ب) نشاندهنده جدایش گسترده REE‌ها و غنی‌شدگی از عناصر خاکی نادر سبک (HREE) نسبت به عناصر خاکی نادر سنگین (LREE) ($\text{La/Yb}_N = ۲۳/۴۳ - ۶۴/۸۲$) با میانگین $۰/۸۸ = (\text{Eu/Eu}^*)$ است. مقدار نسبتاً پایین HREE‌ها ($\text{Yb} = ۰/۱ - ۸۳/۵۳$) و الگوی هموار آنها در نمودار بهنجار شده نسبت به کندریت نشانگر حضور گارنت به عنوان فاز پایدار در خاستگاه مانگماست [۳۱]. بی‌هنجری جزئی منفی Eu نیز نشاندهنده توقف یا عدم جدایش قابل توجه پلاژیوکلاز در خاستگاه مانگماست [۳۲].

نمونه‌های مورد بررسی از توده مونزونیتی نیاز دارای مقدار میانگین ۶۰/۵۹٪ SiO_2 برای Al_2O_3 ۱۵/۳۶ wt%، MgO ۲۴٪، Sr ۷۱۹/۷۴ ppm، Nb ۵۶/۲۸ ppm، Y ۱۳/۰۷ ppm، Sr/Y ۱/۱۶ ppm، Yb ۵۶/۲۸ ppm، La/Yb ۵۴/۶۷ و Ta ۰/۸۸ ppm (میانگین $۰/۸۸ = (\text{Eu/Eu}^*)$) هستند که همه نشاندهنده ویژگی آداکیتی این سنگ‌ها می‌باشند. در نمودارهای Sr/Y نسبت به Y [۱] و همچنین $(\text{La/Yb})_N$ نسبت به Yb_N [۳۳] که به طور گسترده توسط پژوهشگران مختلف برای تشخیص سنگ‌های آداکیتی از سنگ‌های قوسی عادی به کار رفته‌اند، تقریباً همه نمونه‌های مورد بررسی در گستره سنگ‌های آداکیتی قرار دارند (شکل ۷). مارتین و



شکل ۷ (الف) نمودار Sr/Y نسبت به Y [۱] و (ب) نمودار $(\text{La/Yb})_N$ نسبت به Yb_N [۳۳].

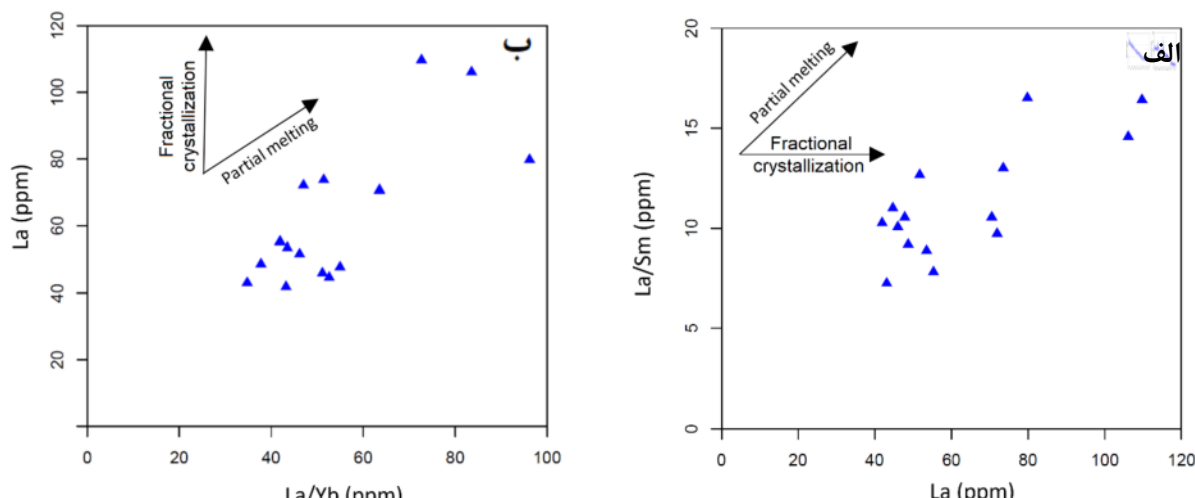
شکل ۸ نمودار Y/Sr نسبت به Y برای تعیین نوع آداسیت سنگ‌های مورد بررسی [۳].شکل ۹ نمودارهای تفکیک زمین‌ساختی توده نفوذی نیاز: (الف) نمودار $Rb/Th/Yb$ نسبت به $Y+Nb/Ta/Yb$ [۳۴] و (ب) نمودار Rb/Yb نسبت به $Y+Nb$ [۳۵].

مقدار Al_2O_3 در نمونه‌ها پایین‌تر از مذاب‌های برآمده از قطعه فرورونده (اغلب با مقدار بیش از ۱۷ Wt%) و مقدار K_2O (۰/۱۱ تا ۰/۵۸) نیز بسیار بیشتر از آداسیت‌های برآمده از ذوب قطعه فرورونده (کمتر از ۱/۵٪) است. از سوی دیگر، نسبت Na_2O/K_2O نیز در نمونه‌ها (با میانگین ۰/۹٪) کمتر از نسبت‌های مشابه در آداسیت‌های معمول پهنه‌های فرورانش اقیانوسی است [۳]. همچنین آداسیت‌های برآمده از ذوب قطعه فرورونده بطور کلی دارای مقادیر پایین Rb/Sr (۰/۰۱ تا ۰/۰۴) و La/Ce (۰/۳ تا ۰/۳۳) است [۳۸]، ولی نمونه‌های مورد بررسی دارای نسبت‌های بالای Rb/Sr (۰/۰۷ تا ۰/۱۵۸)، میانگین (۰/۳۱) و La/Ce (۰/۰۶۴ تا ۰/۰۵۱) هستند که این نشاندهنده تشکیل سنگ‌های آداسیتی نیاز از ذوب‌بخشی پوسته زیرین است [۳۸].

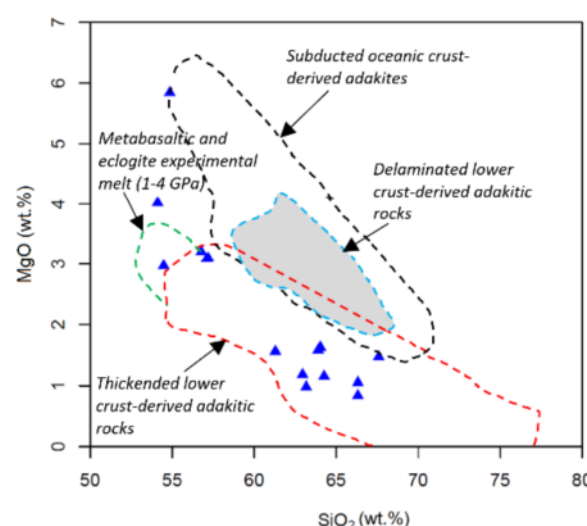
سنگ‌زایی
چنان که مقدمه اشاره شد، بطور کلی آداسیت‌ها از ذوب پوسته اقیانوسی فرورانده شده، ذوب گوشته دگرنهاده، ذوب‌بخشی پوسته زیرین ضخیم شده و یا ذوب پوسته زیرین متورق شده نتیجه می‌شوند [۱، ۵-۹].

در نمودار La/Sm نسبت به La [۳۶] و نمودار La/Sm نسبت به La/Yb بر اساس [۳۷] (شکل‌های ۱۰، الف، ب، نمونه‌های مورد بررسی از توده موزنونیتی نیاز از روند مربوط به ذوب بخشی پیروی می‌کنند. با توجه به این نمودارها مشخص می‌شود که فرآیند ذوب‌بخشی و ترکیب ناحیه خاستگاه، نقش اصلی را در کنترل تنوع ترکیبی و تشکیل ماقمای والد این سنگ‌ها داشته است.

بیشتری از La/Yb (۱۲۹ - ۳۰۵-۱۵۳) و Sr/Y (۷۴ - ۹۶/۱۴) نسبت به آداکیت‌های برآمده از ذوب‌بخشی پوسته زیرین ضخیم شده هستند [۹]، ذوب پوسته زیرین متورق شده نیز نمی‌تواند عامل تشکیل سنگ‌های آداکیتی مورد بررسی باشد (مقادیر La/Yb و Sr/Y در نمونه‌های مورد بررسی به ترتیب در گستره ۹۶/۱۴ - ۳۴/۷۵- ۱۳۱/۶۵ و ۲۶/۶۲ در تغییر است؛ نسبت Y/Sr در نمونه NZ-04/44 در نظر گرفته نشده است). بنابراین با توجه به مجموع مطالب به نظر می‌رسد که ذوب بخشی پوسته زیرین عامل اصلی تشکیل ماقمای والد سنگ‌های مورد بررسی بوده است. در نمودار MgO نسبت به SiO_2 [۴۲] نیز بیشتر نمونه‌ها در گستره آداکیت‌های ناشی از ضخیم‌شدنگی پوسته زیرین جای دارند (شکل ۱۱).



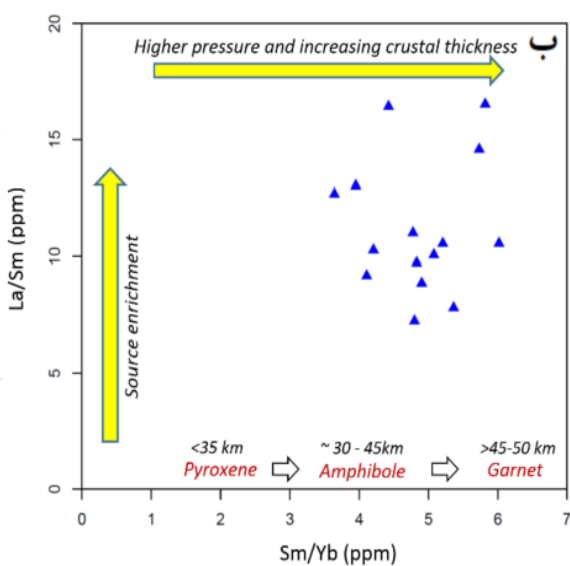
شکل ۱۰ الف) نمودار La/Sm نسبت به La [۳۶] و ب) نمودار La/Yb نسبت به La [۳۷].



شکل ۱۱ نمودار MgO نسبت به SiO_2 [۴۲]

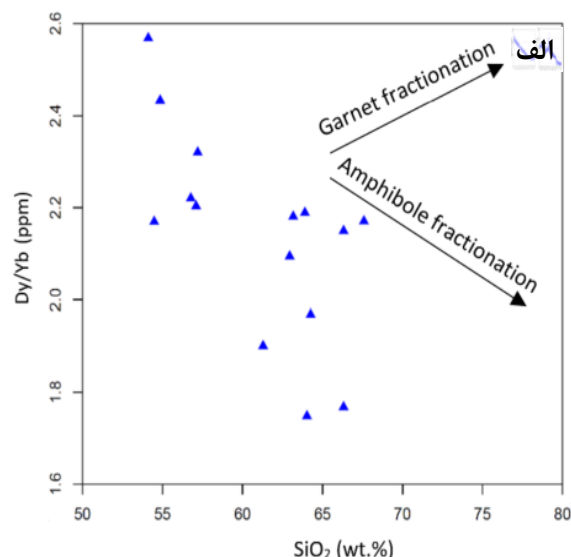
براساس نتایج مراجع [۴۰، ۳۹]، مقدار Ba/Rb برای پوسته ۶۷ و برای گوشته ۱۱ است. این نسبت در نمونه‌های مورد بررسی از ۱۲/۰۲ تا ۲/۹۳ متغیر بوده و میانگین آن ۷/۰۲ است که نشان‌دهنده آن است که توده مومنزونیتی نیاز بطور مستقیم از گوشته شکل نگرفته است. مقدار بالای K_2O و Th (۰-۱۶۵) نمونه‌ها نیز نشان‌دهنده تشکیل این سنگ‌ها از پوسته قاره‌ای است [۴۱]. نسبت‌های بالای La/Yb در نمونه‌ها (۳۴/۷۵-۹۶/۱۴) نیز مدل ذوب‌بخشی پوسته قاره‌ای زیرین برای خاستگاه سنگ‌های آداکیتی مورد بررسی را تأیید می‌کند [۳۷]. با توجه به مقدار بالای Th/Ce و Th (میانگین ۰/۱۷) نمونه‌ها نسبت به آداکیت‌های برآمده از ذوب‌بخشی پوسته زیرین متورق شده و از آنجاکه این نوع آداکیت‌ها دارای مقادیر

بررسی، مقدار Yb/Y در گستره ۹,۲۳ تا ۱۲,۳۴ (با میانگین ۱۱,۲۸) است که بیانگر حضور هورنبلند به عنوان فاز اصلی در خاستگاه ماقمایت است. نمودار Dy/Yb نسبت به SiO_2 [۴۵] (شکل ۱۲ الف) نیز نشاندهنده اهمیت بیشتر آمفیبیول نسبت به گارنت به عنوان فاز اصلی پایدار در خاستگاه ماقمایی سنگ‌های آداکیتی مورد بررسی است. برای تعیین ضخامت پوسته و فشار احتمالی در خاستگاه ماقمای مادر سنگ‌های آداکیتی مورد بررسی از نمودار La/Sm نسبت به Sm/Yb [۴۶] (شکل ۱۲ ب) استفاده شد. برپایه این نمودار، ماقمای والد این سنگ‌ها در یک پوسته ضخیم شده (ژرفای ۴۵ تا ۵۰ کیلومتر) و در تعادل با پسماندهای شامل آمفیبیول و به مقدار جزئی گارنت (کمتر از ۱۰ درصد) تشکیل شده است [۴۶]. بطور کلی، این ویژگی‌ها بیانگر یک خاستگاه آمفیبیولیتی شامل گارنت برای سنگ‌های آداکیتی مورد بررسی است. با توجه به مجموع مطالب می‌توان گفت که ذوب بخشی سنگ‌های پوسته زیرین و مافیک در حضور فازهای پایدار شامل آمفیبیول و به مقدار جزئی گارنت عامل اصلی تشکیل ماقمای والد سنگ‌های مورد بررسی بوده است. ذوب بخشی سنگ‌های پوسته زیرین احتمالاً در پاسخ به فرآیند افزایش ضخامت پوسته در طی اضافه شدن و جایگزینی ماقمای مافیک برآمده از گوشه در پوسته زیرین صورت گرفته است [۴۷].



شکل ۱۲ ب) نمودار Sm/Yb نسبت به SiO_2 [۴۵] و ب) نمودار Dy/Yb نسبت به SiO_2 [۴۶]

مقدار بالای Ba , Sr و Eu نشانگر نبود پلازیوکلاز به عنوان فاز پایدار طی فرآیند ذوب بخشی در خاستگاه ماقمایی توده مونزونیتی نیاز است. چرا که Ba , Sr و Eu عناصری سازگار در پلازیوکلاز هستند و می‌توانند در ساختار آن جایگزین شوند. از سوی دیگر، مقدار بالای عناصر LREE، مقادیر پایین عنصر Y و HREE‌ها (مثل Yb) و نسبت‌های بالای Sr/Y و $(\text{La}/\text{Yb})_{\text{N}}$ بیانگر حضور آمفیبیول و گارنت به عنوان فازهای پایدار در ناحیه خاستگاه ماقمای هستند [۱, ۳, ۴۳]. با توجه به گزارش مارتین و همکاران [۳]، برای آداکیت‌های معمولی که نتیجه ذوب بخشی فشار بالای سنگ‌های بازالتی هستند، Sr به دلیل ناپایداری پلازیوکلاز در فشارهای بالا به شدت ناسازگار است، ولی Y چنین نیست و می‌تواند وارد شبکه هورنبلند (آمفیبیول) و یا گارنت شود که این موضوع موجب کاهش مقدار Y و افزایش نسبت Y/Sr در مذاب‌های آداکیتی می‌گردد. بنابراین مقدار بالای Sr در نمونه‌ها نشانگر شرایط ذوب بخشی فشار بالا در خاستگاه ماقمای والد این سنگ‌هاست [۱, ۳, ۴۳]. از سوی دیگر به باور جی و همکاران [۴۴]، مقادیر $10 < \text{Yb}/\text{Y} < 10$ در سنگ‌ها نشاندهنده حضور گارنت و مقادیر $10 \approx \text{Yb}/\text{Y} < 10$ و الگوی هموار عناصر HREE نشانگر حضور هورنبلند (آمفیبیول) به عنوان فاز پایدار در خاستگاه ماقمایت است. در نمونه‌های مورد



شکل ۱۲ الف) نمودار Dy/Yb نسبت به SiO_2 [۴۶]

- [5] Atherton M.P., Petford N., "Generation of sodium-rich magmas from newly underplated basaltic crust", *Nature* 362 (1993) 144–146.
- [6] Karsl O., Dokuz A., Uysal I., Aydin F., Kandemir R., Wijbrans J., "Generation of the Early Cenozoic adakitic volcanism by partial melting of mafic lower crust, Eastern Turkey: implications for crustal thickening to delamination", *Lithos* 114 (2010) 109–120.
- [7] Topuz G., Okay A.I., Altherr R., Schwar W.H., Siebel W., Zack T., Satır M., Sen C., "Post-collisional adakite-like magmatism in the Ağvanis massif and implications for the evolution of the Eocene magmatism in the Eastern Pontides (NE Turkey)", *Lithos* 125 (2011) 131–150.
- [8] Wang Q., Xu J.-F., Jian P., Bao Z.W., Zhao Z.H., Li C.F., Xiong X.L., Ma J.L., "Petrogenesis of adakitic porphyries in an extensional tectonic setting, Dexing, South China: implications for the genesis of porphyry copper mineralization", *Journal of Petrology* 47 (2006) 119–144.
- [9] Hou M.L., Jiang Y.H., Jiang S.Y., Ling H.F., Zhao K.D., "Contrasting origins of late Mesozoic adakitic granitoids from the northwestern Jiaodong Peninsula, east China: Implications for crustal thickening to delamination", *Geological Magazine*, v. 144 (2007) 619–631.
- [10] Jahangiri A., "Post-collisional Miocene adakitic volcanism in NW Iran: geochemical and geodynamic implications", *Journal of Asian Earth Science* 30 (2007) 433–447.
- [11] Jamali H., Mehrabi B., "Relationships between arc maturity and Cu–Mo–Au porphyry and related epithermal mineralization at the Cenozoic Arasbaran magmatic belt", *Ore Geology Reviews* 65 (2015) 481–501.
- [12] Omrani J., Agard P., Whitechurch H., Benoit M., Prouteau G., Jolivet L., "Arc magmatism and subduction history beneath the Zagros Mountains, Iran: a new report of adakites and geodynamic consequences", *Lithos* 106 (2008) 380–398.
- [13] Delavari M., Amini S., Schmitt A. K., McKeegan K. D., Harrison T. M., "U–Pb geochronology and geochemistry of Bibi-Maryam pluton, eastern Iran: implication for the late stage of the tectonic evolution of the Sistan Ocean", *Lithos* 200–201 (2014) 197–211.
- [14] Asadi S., Moore F., Zaravandi A., "Discriminating productive and barren porphyry copper deposits in the southeastern part of the central Iranian volcano-plutonic belt, Kerman

برداشت

ترکیب اصلی توده آدکیتی کانهدار در منطقه نیاز از گرانیت، کوارتزمنزونیت تا مونزونیت متغیر است. این توده از نظر سری ماقمایی وابسته به سری‌های آهکی قلیایی پتابسیم بالا و شوشوئیتی بوده و دارای ویژگی متالومین تا کمی پرآلومین است و در منطقه گرانیتهای نوع I جای دارد. مقادیر بالای MgO و SiO_2 ، Sr و Al_2O_3 ، Y و HFSE ، LREE و HREE و Sr/Y و $(\text{La/Yb})_{\text{N}}$ همچنین نسبت‌های بالای Sr/Y و Y همه نشانده‌نده همچگونی آدکیتی این توده هستند. ویژگی‌های زمین‌شیمیایی توده مونزونیتی نیاز با آدکیتهای پرسیلیس (HSA) همواری دارد. نمودارهای تفکیک محیط زمین‌ساختی نشانده‌نده شکل-گیری این سنگ‌ها در محیط قوسی آتشفسانی پسابرخوردی در یک کرانه فعال قاره‌ای است. داده‌های زمین‌شیمیایی بیانگر یک خاستگاه آمفیبولیتی دارای گارنت برای سنگ‌های مورد بررسی هستند و به نظر می‌رسد که ذوب‌بخشی پوسته زیرین مافیک و ضخیم شده در تعادل با پسماندهای شامل آمفیبول و به مقدار جزئی گارنت عامل تشکیل ماقمای والد سنگ‌های آدکیتی مورد بررسی بوده است.

قدرتانی

این پژوهش بخشی از نتایج پایان نامه دکتری نویسنده اول است. نگارندگان از معاونت پژوهشی دانشکده علوم دانشگاه ارومیه و به ویژه از امور تحقیق و توسعه شرکت ملی صنایع مس ایران برای تأمین هزینه‌های مالی این پژوهش قدردانی می‌کنند.

مراجع

- [1] Defant M.J., Drummond M.S., "Derivation of some modern arc magmas by melting of young subducted lithosphere", *Nature* 347 (1990) 662–665.
- [2] Castillo P. R., "Adakite petrogenesis", *Lithos* 134 (2012) 304–316.
- [3] Martin H., Smithies R.H., Rapp R.P., Moyen J.-F., Champion D.C., "An overview of adakite, tonalite–trondhjemite–granodiorite (TTG) and sanukitoid: relationships and some implications for crustal evolution", *Lithos* 79 (2005) 1–24.
- [4] Richards J.P., Kerrich R., "Adakite-like rocks: Their diverse origins and questionable role in metallogenesis", *Economic Geology* 102 (2007) 537–576.

- [25] Peccerillo A., Taylor S. R., "Geochemistry of Eocene calc-alkaline volcanic rocks in Turkey. «*Contrib. Mineral. Petr.*»", 68 (1976) 63-81.
- [26] Shand S. J., "Eruptive Rocks. Their Genesis, Composition, Classification, and Their Relation to Ore-Deposits with a Chapter on Meteorite", John Wiley & Sons, New York (1943).
- [27] Chappell B.W., White A.J.R., "Two contrasting granite types", *Pac. Geol.* 8 (1974) 173e174.
- [28] McDonough W. F., S. S. Sun., "The composition of the Earth", *Chem. Geol.*, 120 (1995) 223-253.
- [29] Green T.H., "Experimental studies of trace-element partitioning applicable to igneous petrogenesis—Sedona 16 years later", *Chem. Geol.* 117 (1994) 1–36.
- [30] Boynton W.V., "Cosmochemistry of the rare earth elements: meteorite studies. In: Henderson, P. (Ed.), Rare Earth Element Geochemistry", Elsevier, Amsterdam (1984), pp. 63–114.
- [31] Kampunzo A. B., Tombale A. R., Zhai M., Bagai Z., Majaule T., Modisi M. P., "Major and trace element geochemistry of plutonic rocks from Francistown, NE Botswana: evidence for a Neoarchaean continental active margin in the Zimbabwe craton", *Lithos* 71(2003) 431-460.
- [32] Richards J.P., Spell T., Rameh E., Razique A., Fletcher T., "High Sr/Y Magmas Reflect Arc Maturity, High Magmatic Water Content, and Porphyry Cu ± Mo ± Au Potential: Examples from the Tethyan Arcs of Central and Eastern Iran and Western Pakistan", *Economic Geology* 107(2012).
- [33] Martin H., "Effect of steeper Archean geothermal gradient on geochemistry of subduction-zone magmas", *Geology* 14 (9) (1986) 753–756.
- [34] Pearce J. A., Harris N. B. W., Tindle A. J., "Trace element discrimination diagrams for the tectonic interpretation of granitic rocks", *J. Petrol.*, 25 (1984) 956-83.
- [35] Schandl E. S., Gorton MP., "Application of high field strength elements to discriminate tectonic setting in VMS environments", *Economic Geology*.97 (2002) 629-642.
- [36] Jiang Y.H., Ling H.F., Jiang S.Y., Fan H.H., Shen W.Z. & Ni P., "Petrogenesis of a Late Jurassic Peraluminous Volcanic complex and its high-Mg, potassic, quenched enclaves at Xiangshan, Southeast China", *J. Petrology* 46, 6. (2005) 1121-1154.
- region, Iran: a review", *Earth Science Review* 138 (2014) 25–46.
- [15] Ahmadian J., Sarjoughian F., Lentz D., Esna-Ashari A., Murata M., Ozawa H., "Eocene K-rich adakitic rocks in the Central Iran: Implications for evaluating its Cu–Au–Mo metallogenic potential", *Ore Geology Review* 72 (2016) 323-342.
- [16] Nabavi M.H., "An Introduction to Geology in Iran", Geological Survey of Iran, 56 (1976).
- [17] Moritz R., Mederer J., Ovtcharova M., Spikings R., Selby D., Melkonyan R., Hovakimyan S., Tayan R., Ulianov A., Ramazanov V., "Jurassic to Tertiary metallogenic evolution of the southernmost Lesser Caucasus, Tethys belt", 12th the Society for Geology Applied to Mineral Deposits (SGA) Biennial Meeting, Uppsala, Sweden (2013).
- [18] Ashrafi N., Jahangiri A., Hasebe N., Eby G.N., "Petrology, geochemistry and geodynamic setting of Eocene-Oligocene alkaline intrusions from the Alborz-Azerbaijan magmatic belt, NW Iran", *Journal of Chemie der Erde*, Volume 78 (2018) 432-461.
- [19] Jamali H., Dilek Y., Daliran F., Yaghoubpur A., Mehrabi B., "Metallogeny and tectonic evolution of the Cenozoic Ahar- Arasbaran volcanic belt, northern Iran", *International Geology Review*, 53 (2010) 608-630.
- [20] NICICO, "Final report on the exploration studies in Niaz copper mineralization (West Meshkinshahr, NW Iran)", NICICO Internal report (2013).
- [21] NICICO., "Geological report and map of Niaz area; Scale, 1:1000", NICICO Internal report (2006).
- [22] Mahdavi M.A., Amini Fazl A., "Geologic map of Ahar: Geological Survey of Iran, scale 1:100000", 1 sheet (1989).
- [23] Hassanpour S., Alirezaei S., Selby D., Sergeev S., "SHRIMP zircon U–Pb and biotite and hornblende Ar–Ar geochronology of Sungun, Haftcheshmeh, Kighal, and Niaz porphyry Cu–Mo systems: evidence for an early Miocene porphyry-style mineralization in northwest Iran", *Int J Earth Sci (Geol Rundsch)* (2015) 104:45–59.
- [24] De la Roche H., Leterrier J., Grandclaude P., Marchal M., "A Classification of Volcanic and Plutonic Rocks Using RIR2 -Diagrams and Major Element Analysis—Its Relationships with Current Nomenclature", *Chemical Geology*, 29 (1980) 183-210.

- [42] Wang Q., Xu J.F., Jian P., Bao Z.W., Zhao Z.H., Li C.F., Xiong X.L., Ma J.L., "Petrogenesis of adakitic porphyries in an extensional tectonic setting, Dexing, South China: Implications for the genesis of porphyry copper mineralization", *Journal of Petrology*, v. 47 (2006) p. 119–144.
- [43] Rapp R.P., Watson E.B., Miller C.F., "Partial melting of amphibolite, eclogite and the origin of Archaean trondhjemites and tonalities", *Precambrian Research* 51(1991) 1–25.
- [44] Ge X., Li X., Chen Z., Li W., "Geochemistry and petrogenesis of Jurassic high Sr/Y low granitoids in eastern China: constrains on crustal thickness", *Chinese Science Bulletin* 47 (2002) 962-980.
- [45] Davidson J., Turner S., Handley H., Macpherson C., Dosseto A., "Amphibole "sponge" in arc crust?", *Geology* 35 (2007) 787-790..
- [46] Kay S.M., Mpodozis C., "Central Andes ore deposits linked to evolving shallow subduction systems and thickening crust", *GSA TODAY* (Geol Soc Am) 11(2001) 4–9.
- [47] Atherton M. P., Petford N., "Generation of sodium-rich magmas from newly underplated basaltic crust", *Nature*, 362 (1993) 144-146.
- [37] Wang Q., Wyman D. A., Xu J., Jian P., Zhao Z., Li C., Xu W., Ma J., He B., "Early Cretaceous adakitic granites in the northern Dabie complex, Central China: implications for partial melting and delamination of thickened lower crust", *Geochimica et Cosmochimica Acta* 71(2007) 2609-2636.
- [38] Hou Z. Q., Gao Y. F., Qu X. M., Rui Z. Y., Mo X. X., "Origin of adakitic intrusives generated during mid-Miocene east–west extension in southern Tibet", *Earth and Planetary Science Letter* 220 (2004) 139–155.
- [39] Rudnick R. L., Fountain D. M., "Nature and composition of the continental crust: a lower crustal perspective", *Rev. Geophys.* 33 (2017) 267–309.
- [40] Hofmann A.W., WhiteW. M., "Ba, Rb, and Cs in the Earth's mantle", *Z. Naturforsch.* 38 (1983) 256-266.
- [41] Wang Q., Wyman D. A., Xu J., Jian P., Zhao Z., Li C., Xu W., Ma J., He B., "Early Cretaceous adakitic granites in the northern Dabie complex, Central China: implications for partial melting and delamination of thickened lower crust", *Geochimica et Cosmochimica Acta* 71(2007) 2609-2636.